

CMOS射频集成电路设计

2006年9月29日

唐长文 助理研究员

zwtang@fudan.edu.cn

<http://me.fudan.edu.cn/faculty/personweb/tangzhangwen/RFIC/RFIC.htm>

复旦大学 专用集成电路与系统国家重点实验室

版权© 2005-2006, 版权所有, 不得侵犯

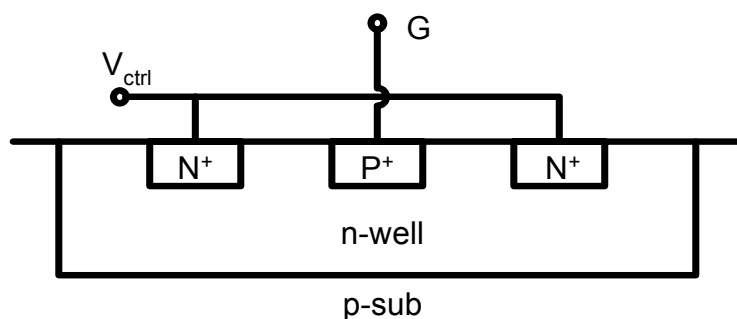
片上可变电容、电容、电阻和有源器件

- 片上可变电容的种类
- 片上可变电容的工作原理分析
- 电容
- 电阻
- 有源器件

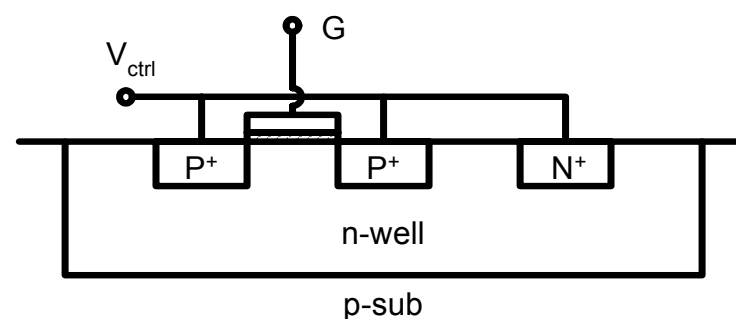
片上可变电容的种类

● 硅CMOS工艺中的四种可变电容

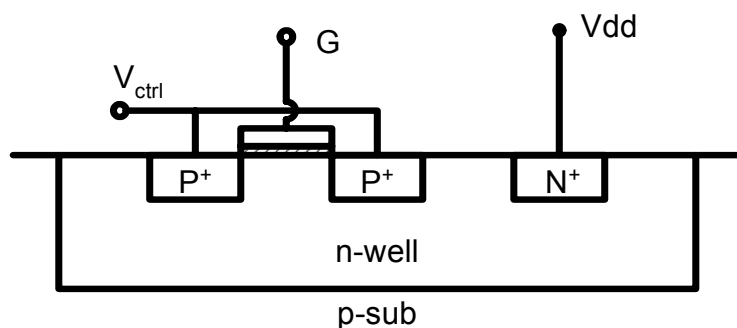
PN结、标准MOS管电容、I-MOS管电容、A-MOS管电容



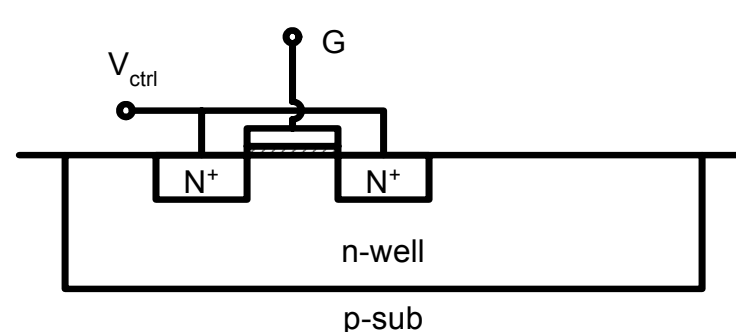
(a) p+/n-well Junction



(b) D=S=B MOS



(c) Inversion MOS



(d) Accumulation MOS

反偏PN结的C-V曲线

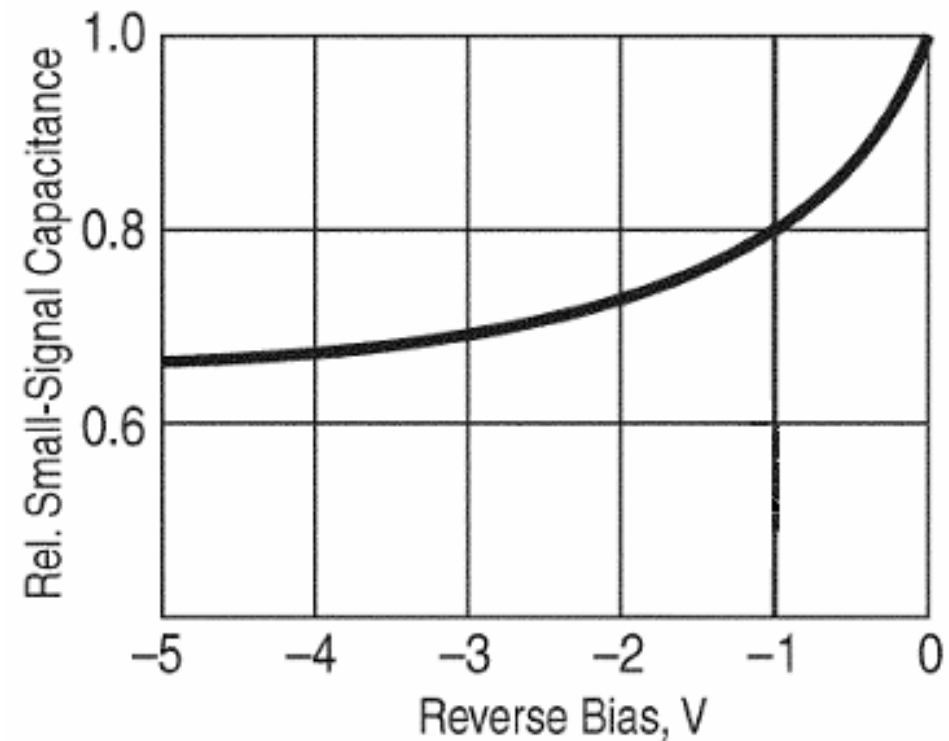
- m 为结电容梯度因子

- 线性缓变结, $m = 1/3$;

- 突变结, $m = 1/2$;

- 超突变结, $m = 1/2 \sim 6$ 。

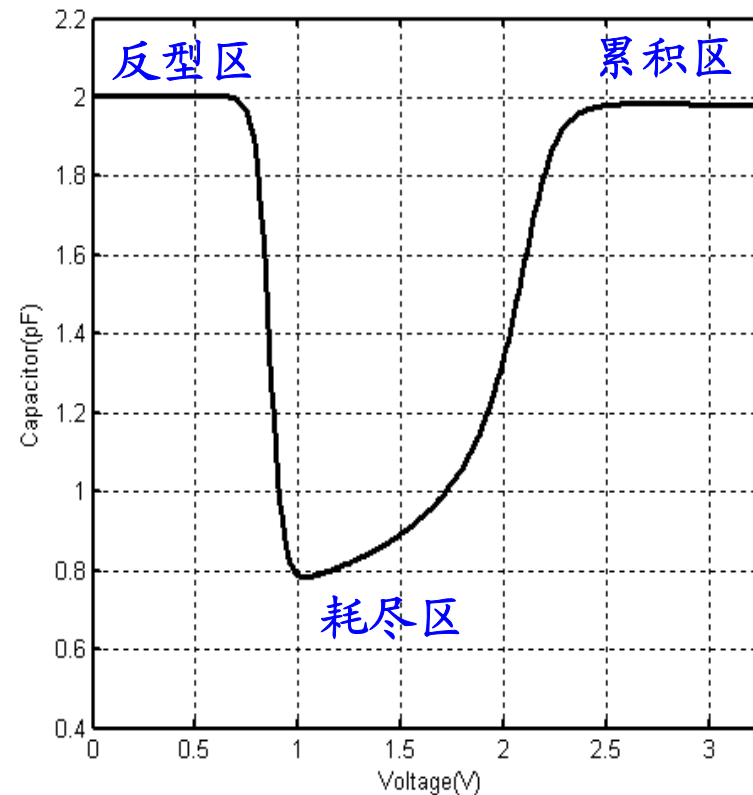
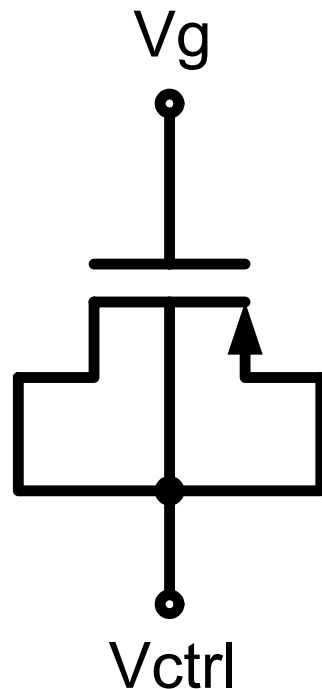
$$C(V) = \frac{C_{j0}}{\left(1 - \frac{V}{\phi_j}\right)^m}$$



MOS管可变电容的C-V曲线(I)

- 标准MOS管电容

D=S=B MOS管

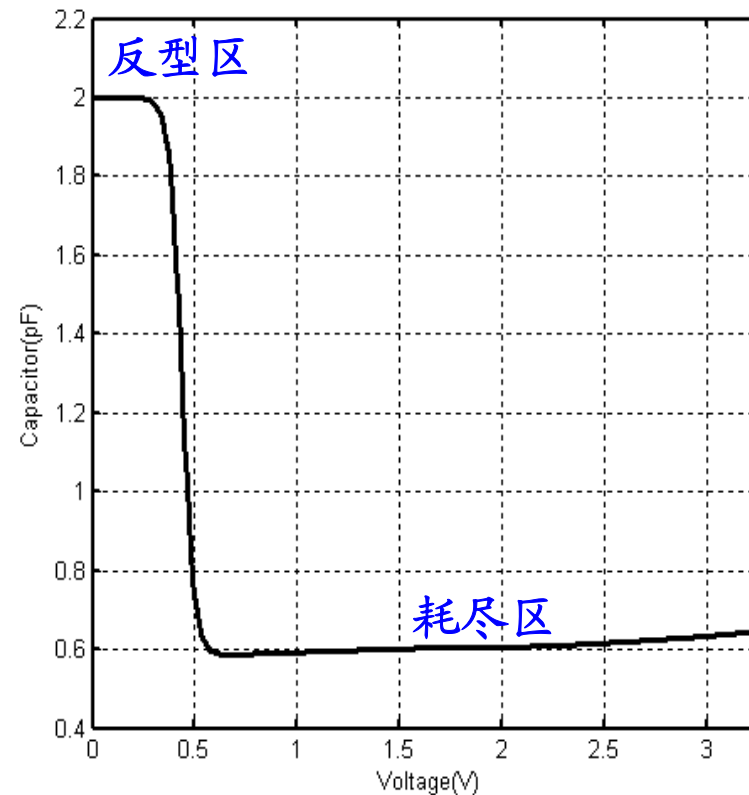
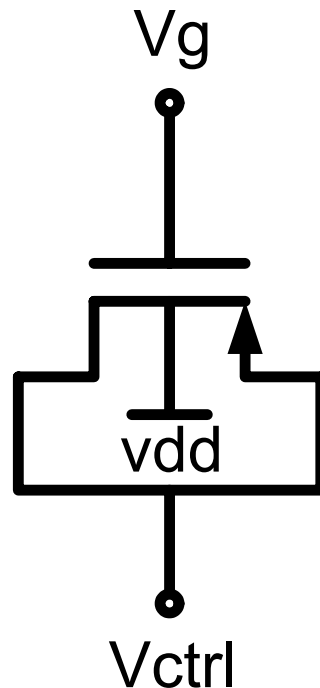


$V_{gs}@V_{ctrl}=1.65V$

S=D=B PMOS Varactor

MOS管可变电容的C-V曲线(II)

- Inversion-MOS管电容

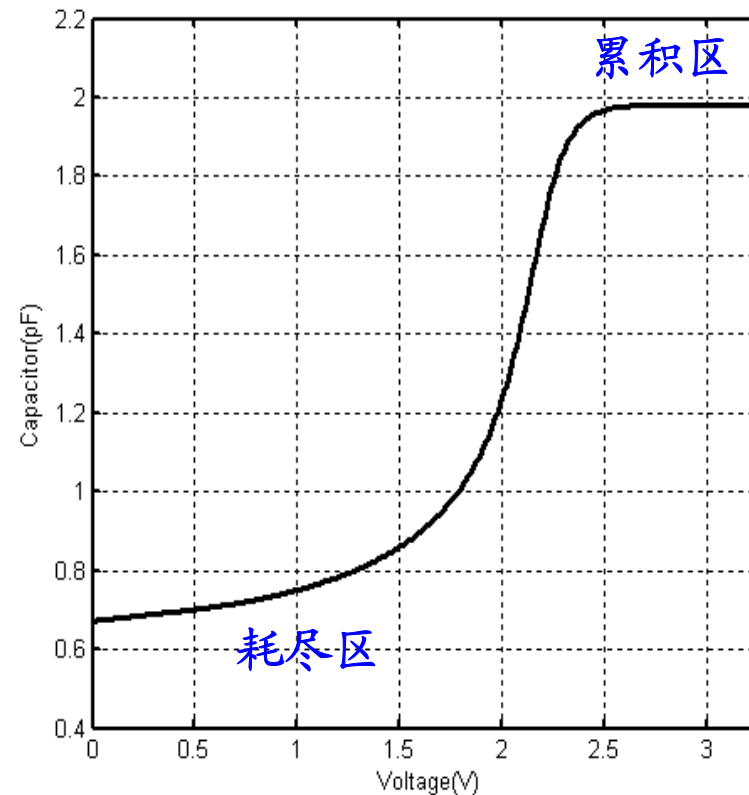
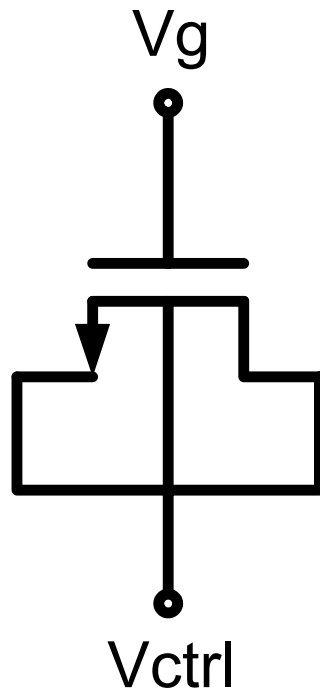


$$V_{gs}@V_{ctrl}=1.65V$$

Inversion PMOS Varactor

MOS管可变电容的C-V曲线(III)

- Accumulation-MOS管电容
Nwell中的NMOS管



$$V_{gs}@V_{ctrl}=1.65V$$

Accumulation NMOS Varactor

片上可变电容的工作原理分析

在分析可变电容之前,让我们回顾一下**MOS管**跨导的推导

- **MOS管漏极电流**

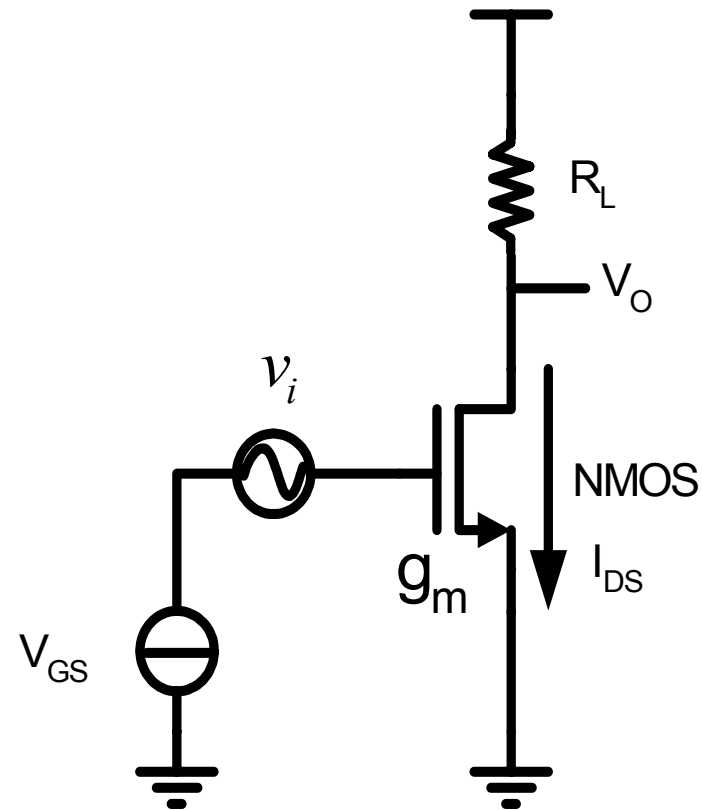
$$I_{DS} = \frac{1}{2} \mu C_{ox} \frac{W}{L} (V_{GS} - V_{TH})^2$$

- 小信号跨导

$$g_m = \frac{\partial I_{DS}}{\partial V_{GS}} = \mu C_{ox} \frac{W}{L} (V_{GS} - V_{TH})$$

- 输出小信号

$$v_o = g_m|_{V_{GS}+v_i} \cdot R_L \cdot v_i$$



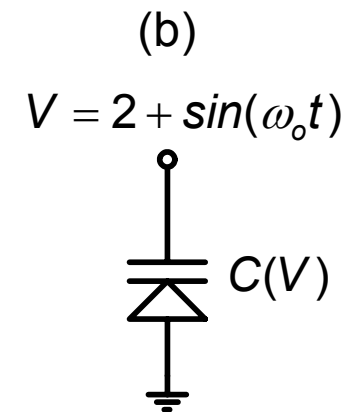
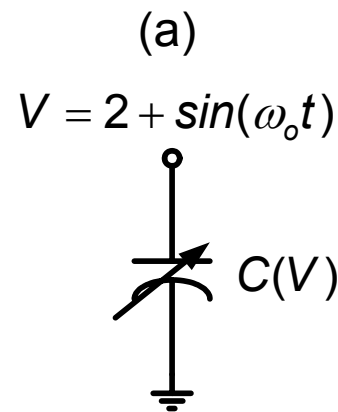
可变电容的大信号和小信号分析

● 大信号分析

$$I = \frac{dQ}{dt} = \frac{d(C_{ss}(V) \cdot V)}{dt} = C_{ss}(V) \frac{dV}{dt} + V \frac{dC_{ss}(V)}{dt}$$

● 小信号分析

$$I = C_{ss}(V) \frac{dV}{dt}$$

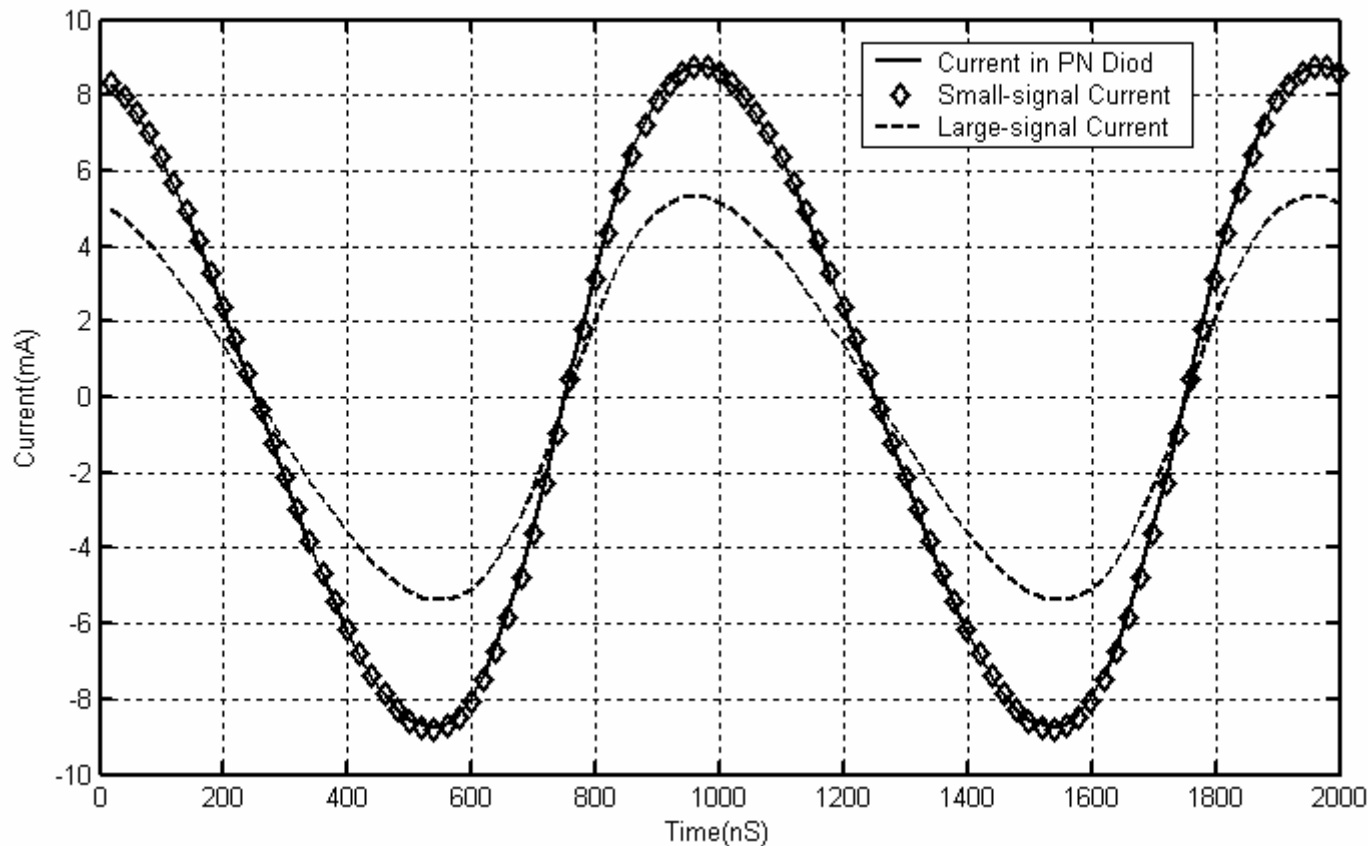


(a) Variable Capacitor Model

(b) PN Junction Varactor

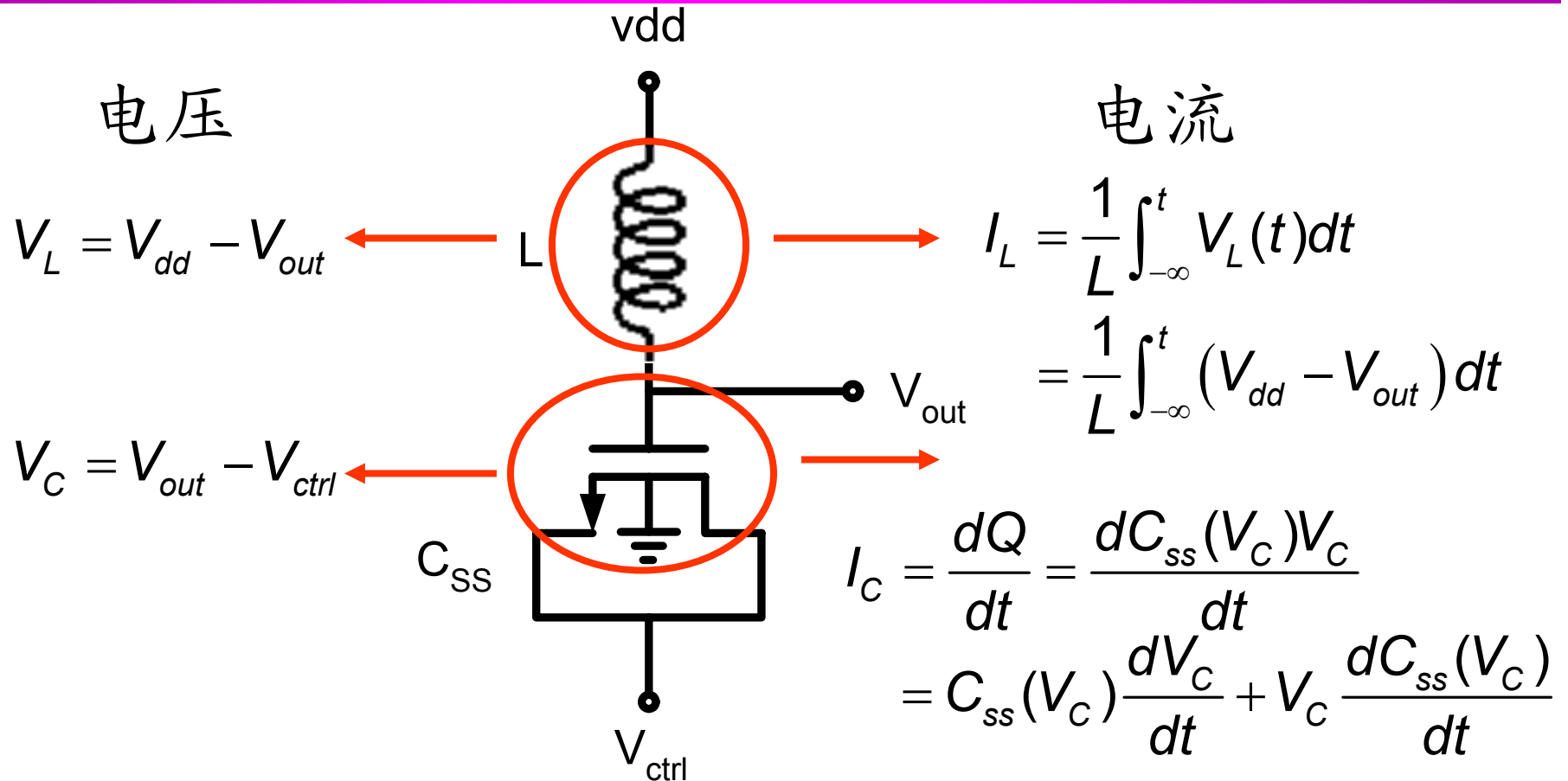
HSPICE仿真结果

- 大信号分析的电流与小信号分析的电流有差别



值得注意的是目前大多数商用软件都是基于小信号分析!

LC回路中可变电容的非线性分析(I)



LC串联条件: $I_L = I_C$

LC回路中可变电容的非线性分析(II)

- 傅立叶展开:忽略三次和三次以上谐波成份

$$V_{out}(t) = V_0 + 2 \sum_{n=1}^{\infty} A_n \cos(n\omega t) \approx V_0 + 2A_1 \cos(\omega t) + 2A_2 \cos(2\omega t)$$

- 可变电容的小信号电容的傅立叶展开

$$C_{ss}(V_C) = C_{ss}^{(0)} + 2 \sum_{n=1}^{\infty} C_{ss}^{(n)} \cos(n\omega t)$$

- 谐波平衡方法:方程两边一次谐波相等

$$I_L = I_C$$

$$\frac{1}{L} \int_{-\infty}^t (V_{dd} - V_{out}) dt = C_{ss}(V_C) \frac{dV_C}{dt} + V_C \frac{dC_{ss}(V_C)}{dt}$$

$$\frac{A_1}{L\omega} = \omega \left\{ A_1 C_{ss}^{(0)} + A_1 C_{ss}^{(2)} + (A_2 - V_{ctrl}) C_{ss}^{(1)} + A_2 C_{ss}^{(3)} \right\}$$

LC回路的有效电容

- 有效电容定义: 基频上的等效电容

$$C_{eff} = \frac{1}{L\omega^2} = C_{ss}^{(0)} + C_{ss}^{(2)} + \frac{A_2 - V_{ctrl}}{A_1} C_{ss}^{(1)} + \frac{A_2}{A_1} C_{ss}^{(3)}$$

- 谐波平衡方法

□ 忽略了高次谐波, 存在精度误差

□ 表达式非常复杂

- Hegazi小信号模型: [JSSC 2003 June]

$$C_{eff} = C_{ss}^{(0)} - C_{ss}^{(2)}$$

可变电容小信号模型在正弦波激励下的有效电容

电容

● 电容的类型

- 面-面电容 \propto 面积, $1/\text{距离}$
- 边缘-面电容 \propto 长度, $1/\text{距离}$
- 边缘-边缘电容 \propto 长度, $1/\text{距离}$

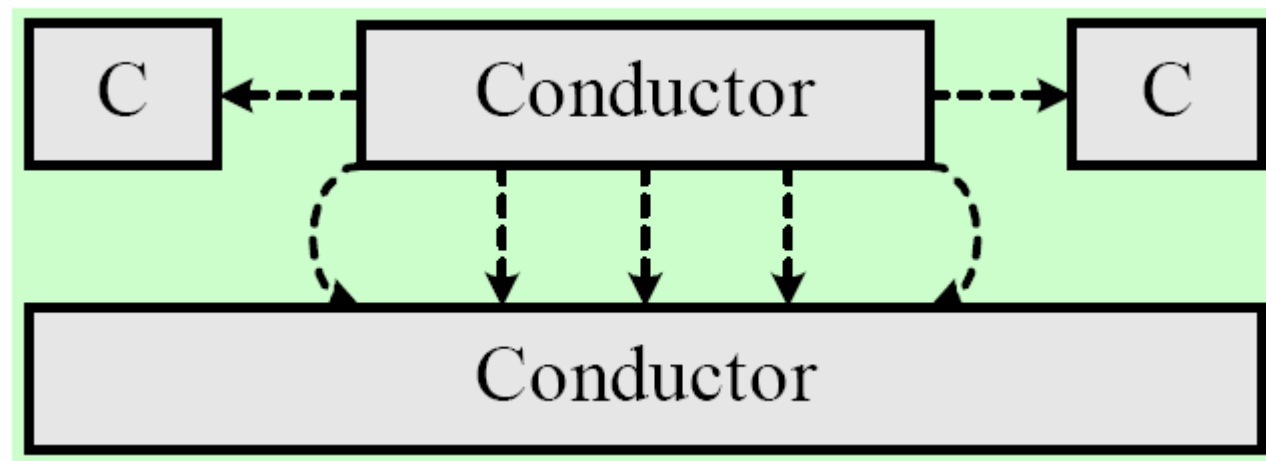
$$C = \frac{\epsilon_0 \epsilon_r A}{t}$$

A : 面积

t : 绝缘层介质厚度

$$\epsilon_0 = 8.85 \times 10^{-12} \text{ F/m}$$

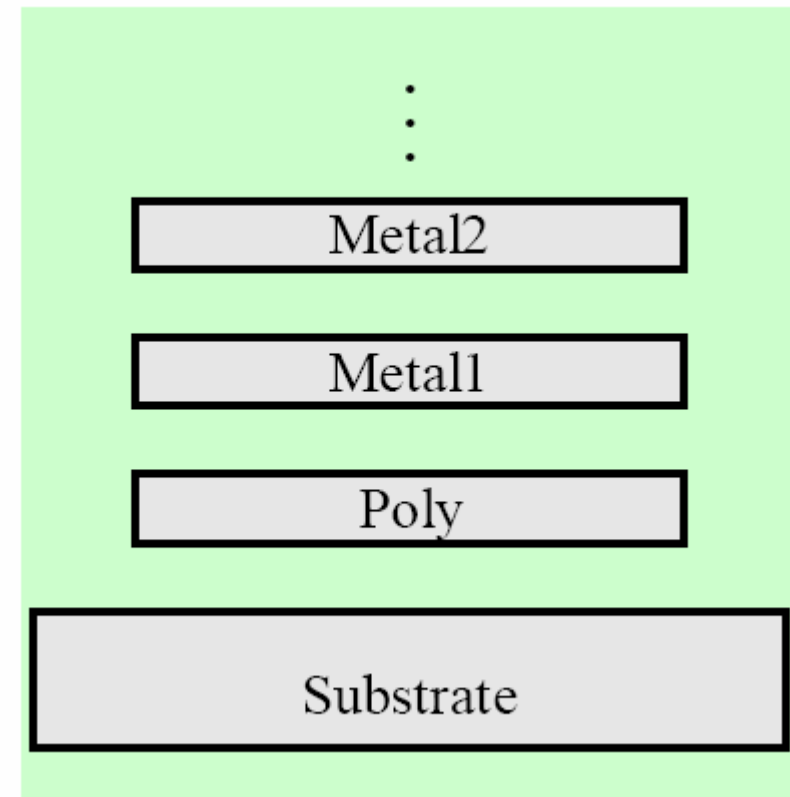
$$\epsilon_{\text{SiO}_2} = 3.9$$



寄生电容

● 以Metal2为例

	Area C (fF/ μm^2)	Fringe C (fF/ μm)
M2-M2 (spacing = 0.3 μm)	-	0.0900
M2-M1	0.0110	0.0280
M2-Poly	0.0049	0.0170
M2-Substrate	0.0045	0.0160



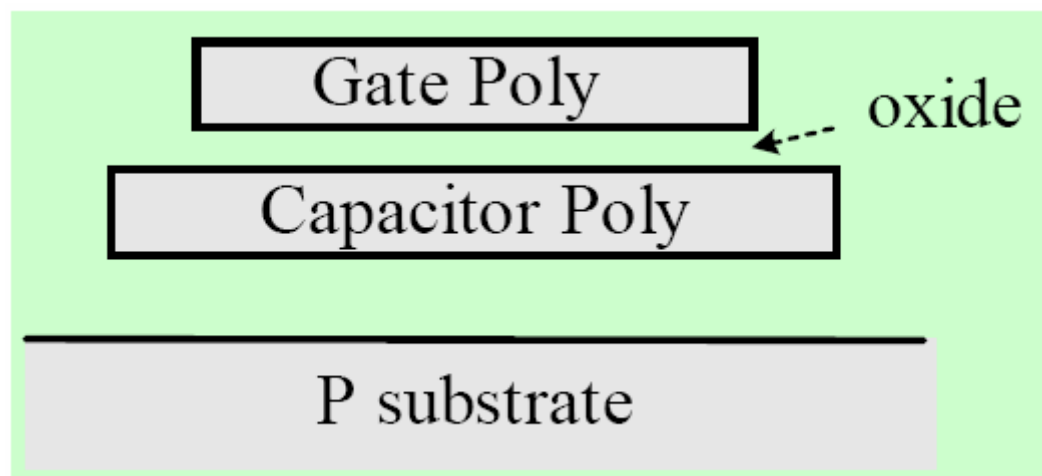
PIP电容

- PIP电容值

$$C_{unit} = 1 - 1.3 fF / \mu m^2 \quad C_{fringe} = 0.08 - 0.09 fF / \mu m$$

- 需要额外Poly电容掩模层

- 电容底板的寄生电容大

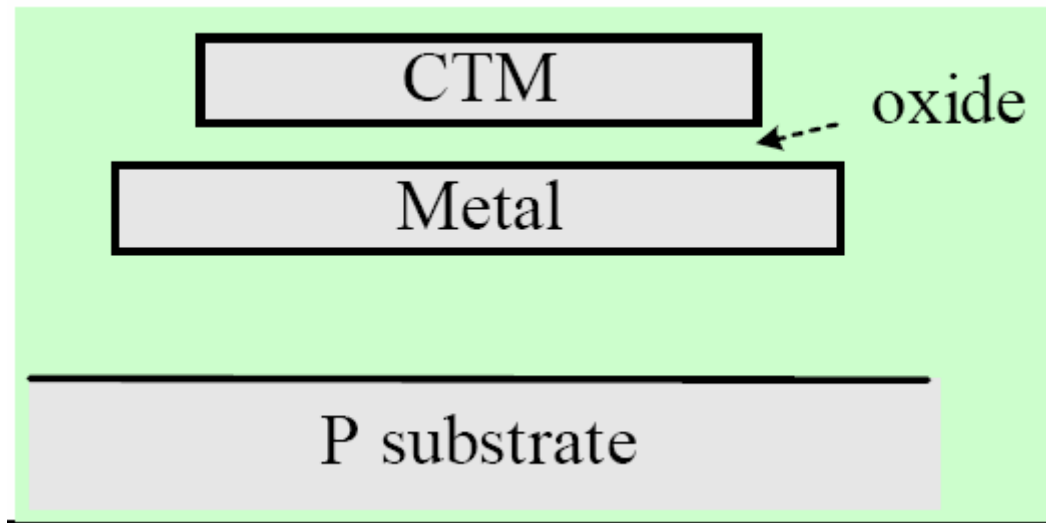


MIM电容

- MIM电容

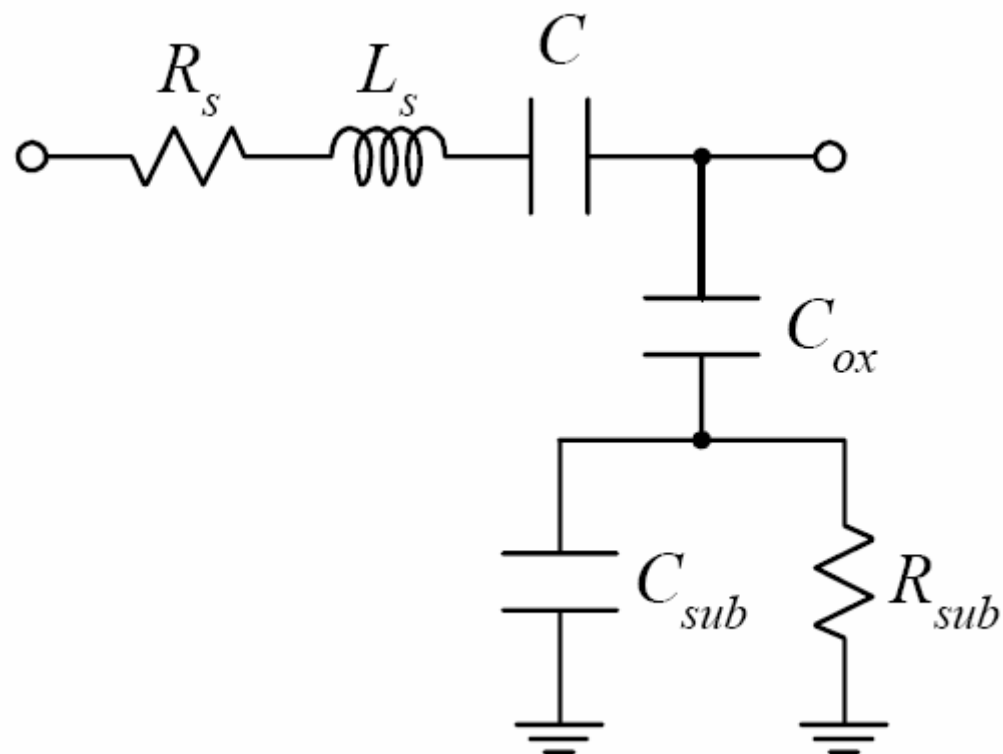
$$C_{unit} = 0.8 - 1.15 fF / \mu m^2 \quad C_{fringe} = 0.073 - 0.077 fF / \mu m$$

- 额外需要CTM(Capacitor Top Metal)掩模层
- 寄生电容和串联电阻都很小



电容模型

- 等效电路模型



电容精度

- 绝对精度

- 工艺偏差大于 $\pm 10\%$

- ❖ 掩模和光刻偏差

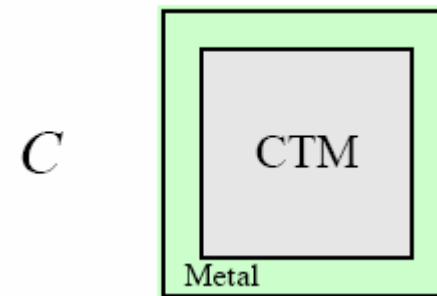
- ❖ 电容边缘效应

- ❖ 绝缘层厚度偏差

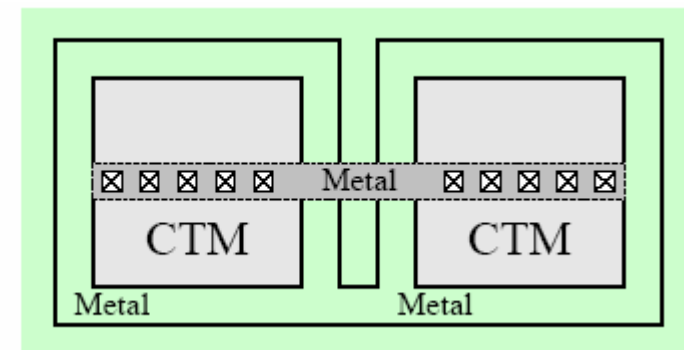
- 相对精度(匹配)

- $\pm 1\%$ 的偏差

- 使用单位电容



$2C$

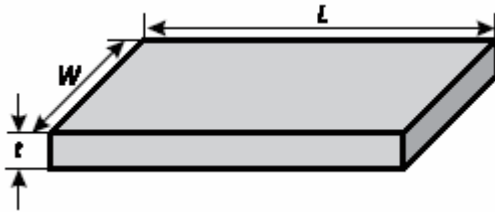


电阻的类型

● 方块电阻的计算

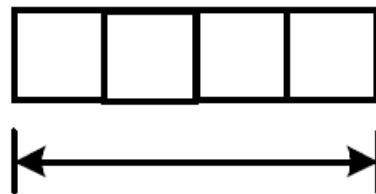
□ 电导率 σ

□ 电阻率 $\rho = \frac{1}{\sigma}$

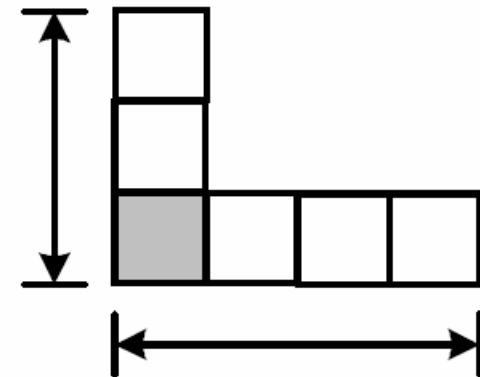


$$R = \frac{\rho L}{Wt} \rightarrow R_{SH} = \frac{\rho}{t} = R \left(\frac{W}{L} \right)$$

$$R_{SH} = 50\Omega/\text{square}$$



$$R_{total} = 200 \text{ ohm}$$



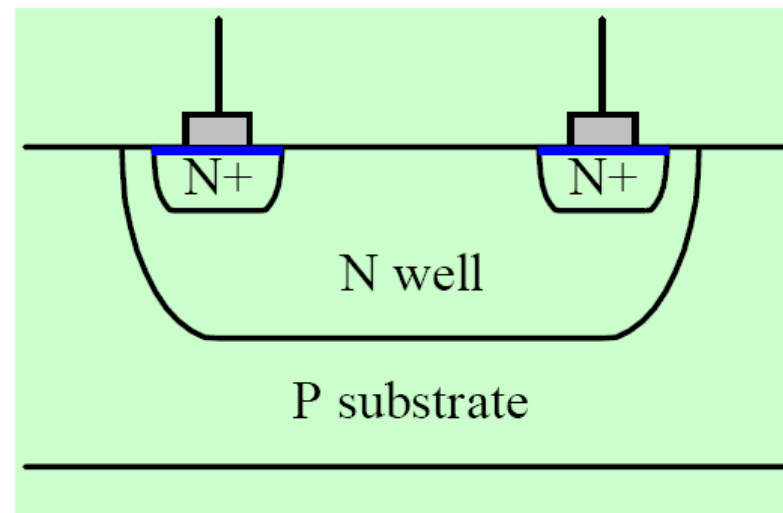
$$R_{total} < 300 \text{ ohm}$$

阱电阻

- 通常是**Nwell**电阻

- 寄生电容很大

- 方块值 $R_{SH} = 460 - 600 \Omega/\text{square}$

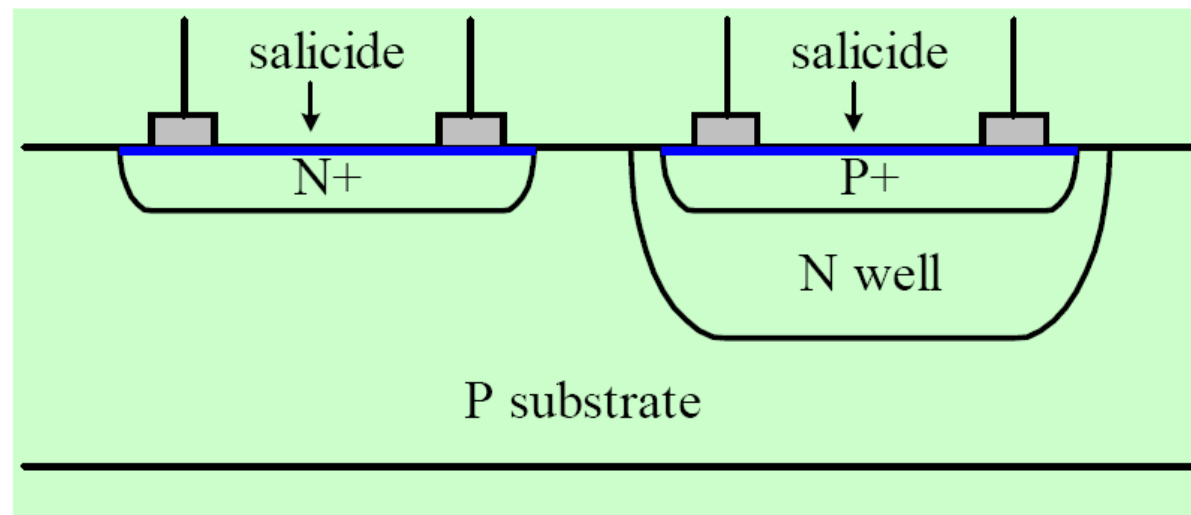


扩散电阻(I)

- Salicide P+/N+有源区扩散电阻

- 寄生电容很大

- 方块值 $R_{SH} = 1-9\Omega/\text{square}$



扩散电阻(II)

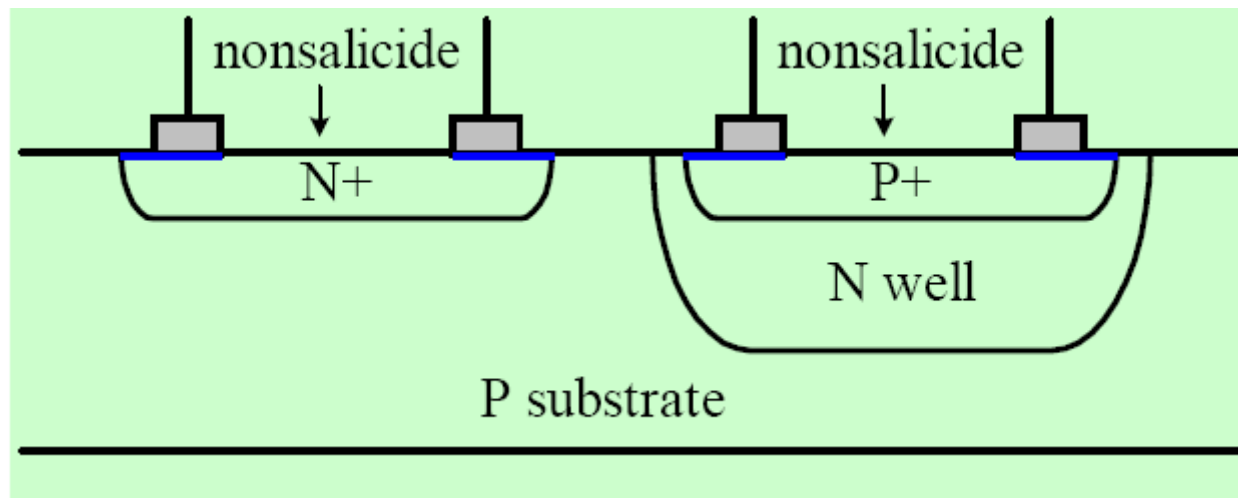
- Non-salicide P+/N+栅电阻

- 方块值 $R_{SH_P+} = 125 - 165 \Omega/square$

- $R_{SH_N+} = 63.5 - 68.5 \Omega/square$

- 只能在低频电路中使用

- 额外需要salicide阻挡层

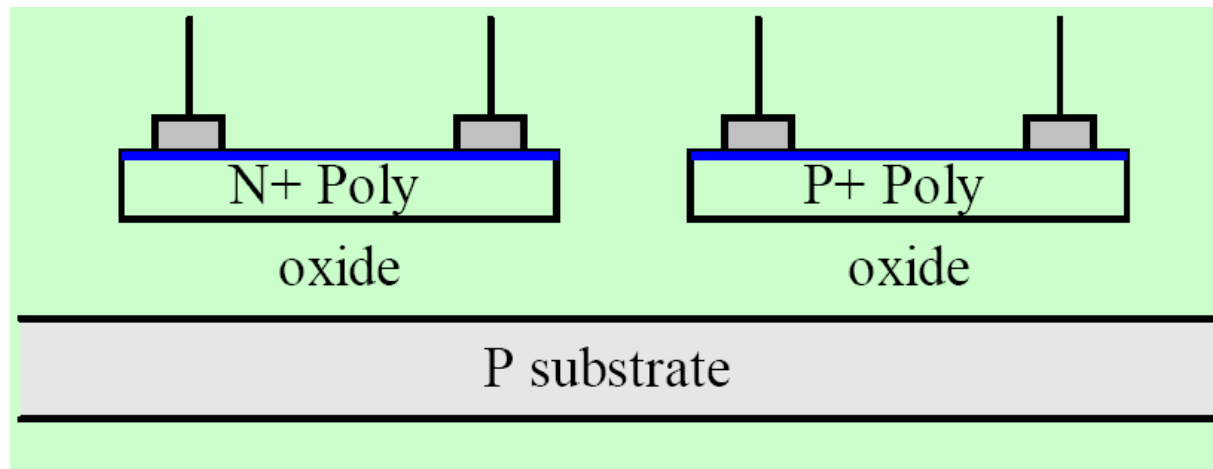


栅电阻(I)

- Salicide P+/N+栅电阻

- 寄生电容小

- 方块值 $R_{SH} = 1-9\Omega/square$



栅电阻(II)

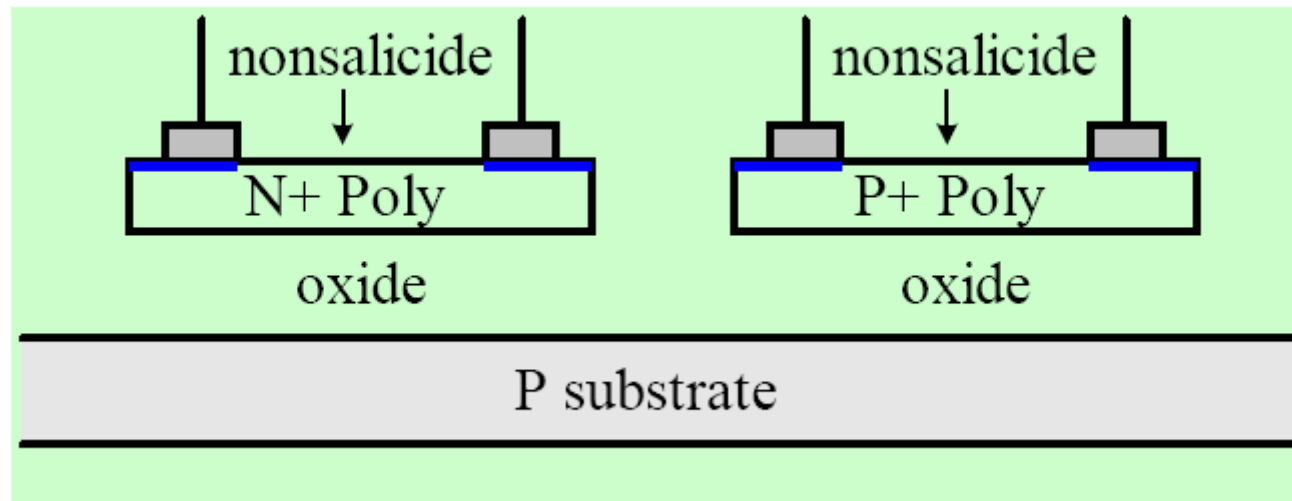
- Non-salicide P+/N+栅电阻

- 方块值 $R_{SH_P+} = 130 - 190 \Omega/square$

- $R_{SH_N+} = 160 - 210 \Omega/square$

- 能在高频电路中使用

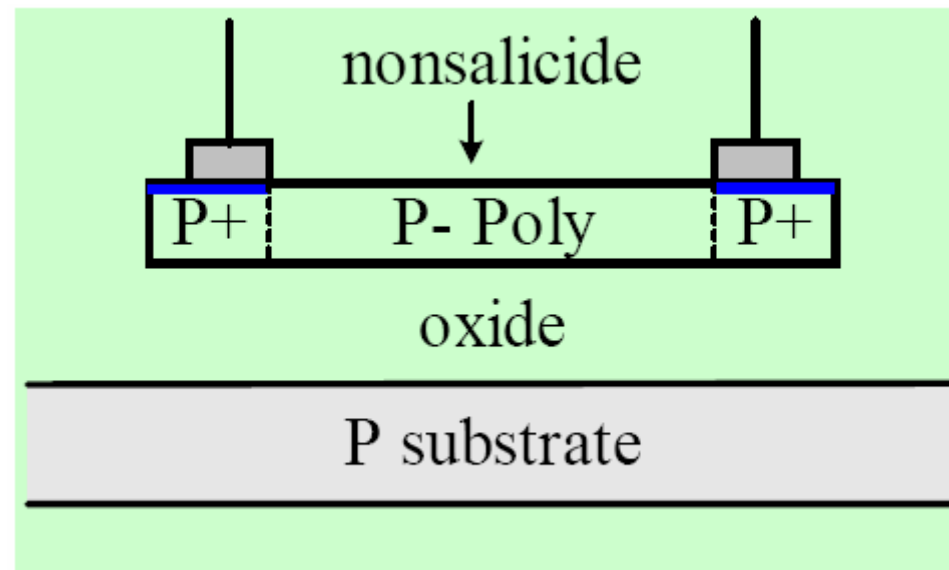
- 额外需要salicide阻挡层



栅电阻(III)

- Non-salicide HR(High resistance)栅电阻

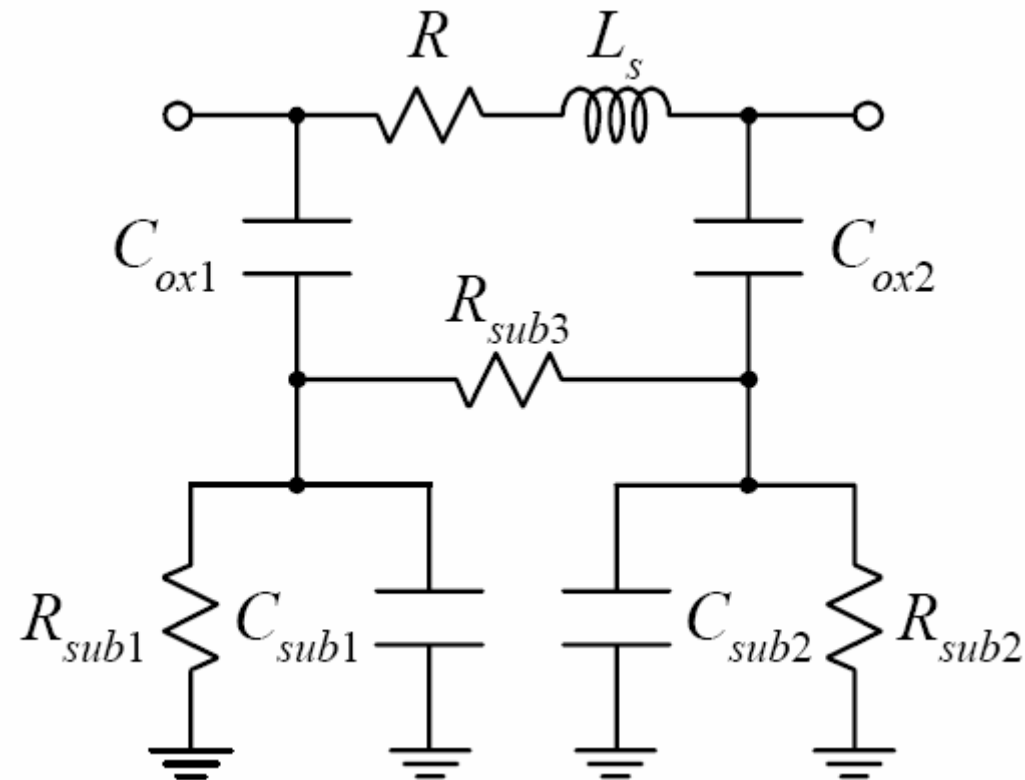
- 方块值 $R_{SH_HR} \approx 400\Omega/square$
- 能在高频电路中使用
- 额外需要salicide阻挡层和高阻掩模层



电阻模型

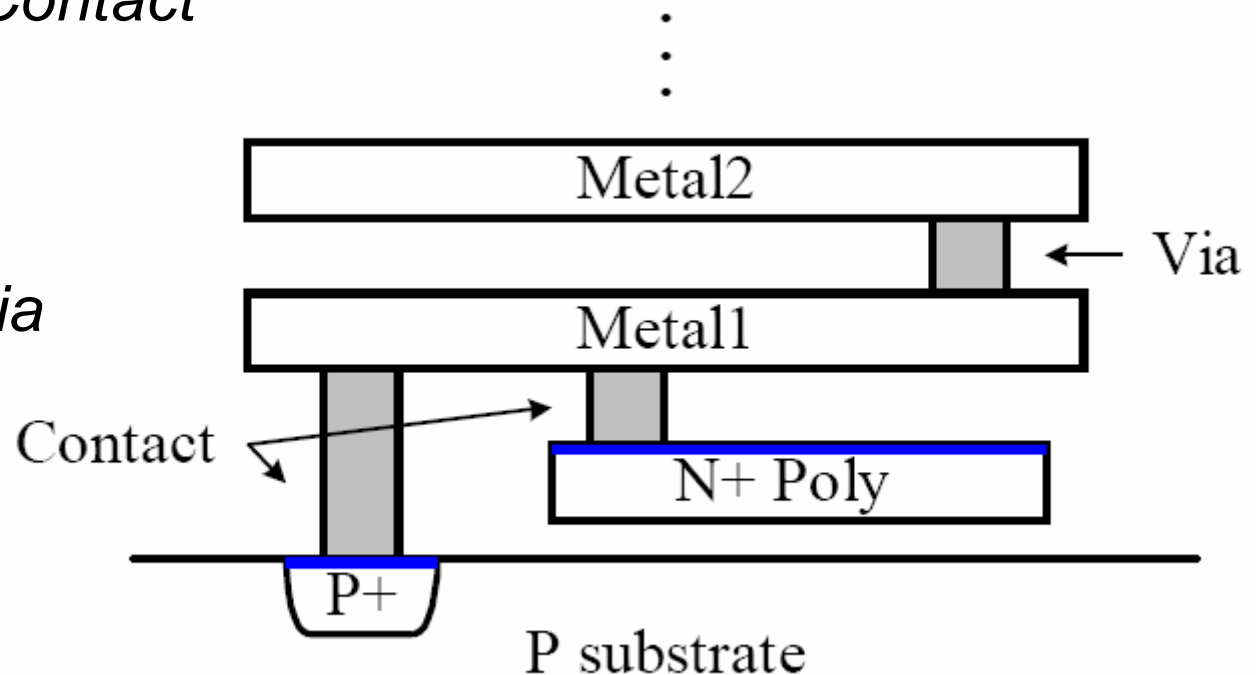
● 等效电阻模型

与片上电感的模型相同, 区别在于 L_s 感值很小



寄生电阻

- 金属串联电阻 $R_{SH} = 0.025 - 0.115\Omega/square$
- 接触(Contact)电阻
 - P+/N+ Contact, P+/N+ Poly Contact
 - 阻值 $5 - 25\Omega/Contact$
- 过孔(Via)电阻
 - Via12, Via23, ..
 - 阻值 $2 - 15\Omega/Via$



电阻精度

- 绝对精度

- 工艺偏差大于 $\pm 10\%$

- ❖ 掩模和光刻偏差

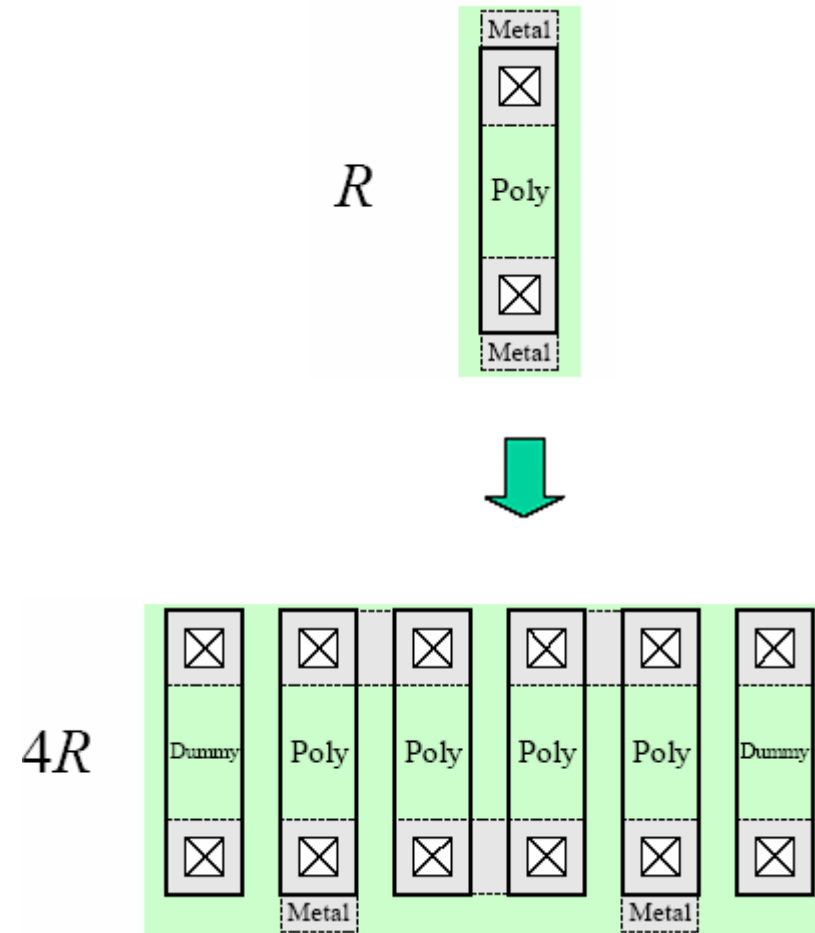
- ❖ 离子注入偏差

- ❖ 电阻末端效应

- 相对精度(匹配)

- $\pm 1\%$ 的偏差

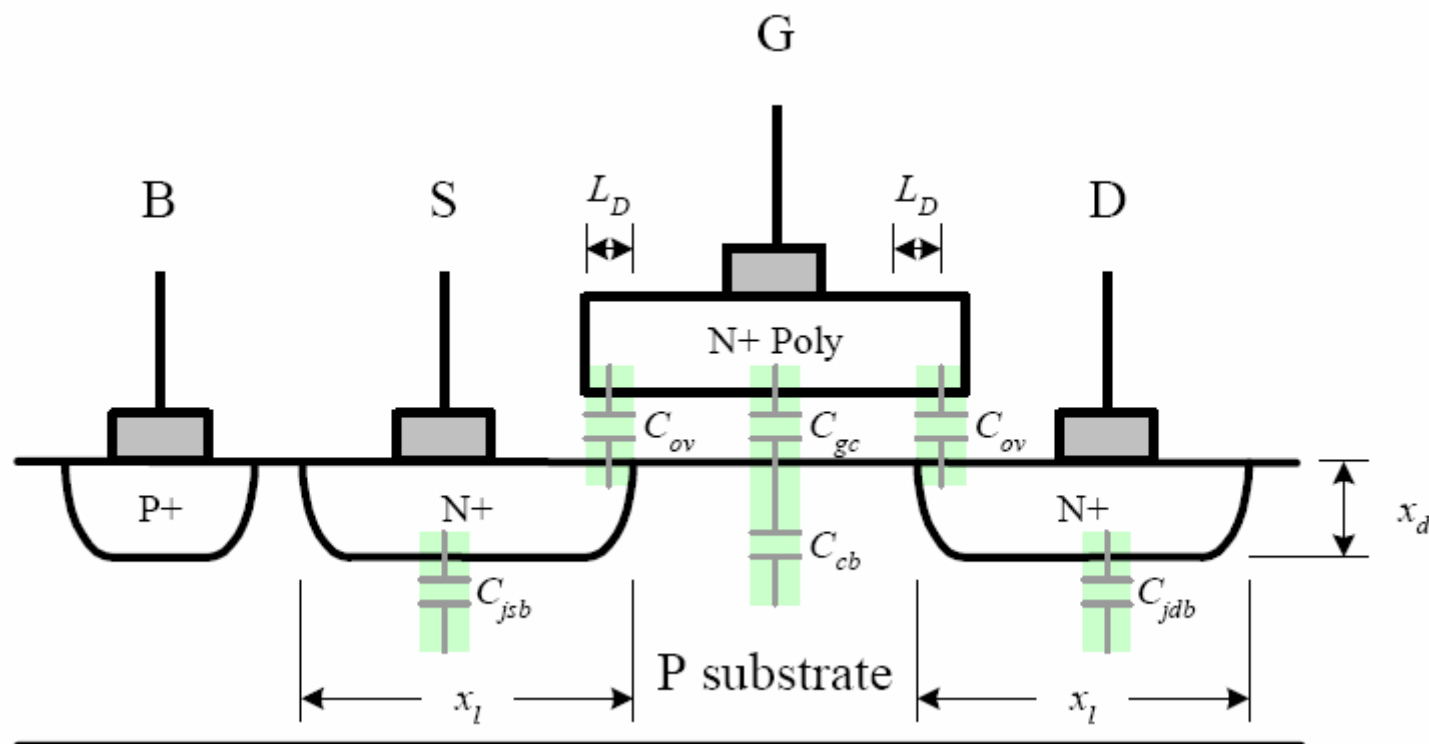
- 使用单位电阻



有源器件

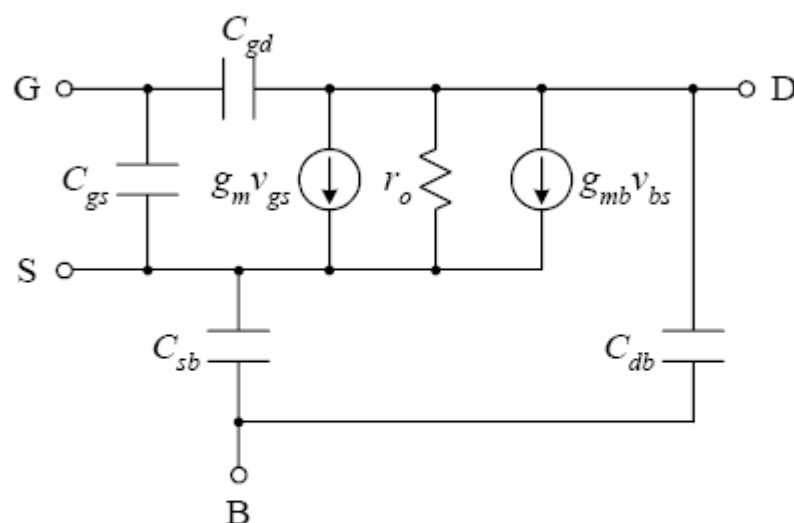
- 射频MOS管: W/L 尺寸相对固定

- MOS管寄生电容必须考虑



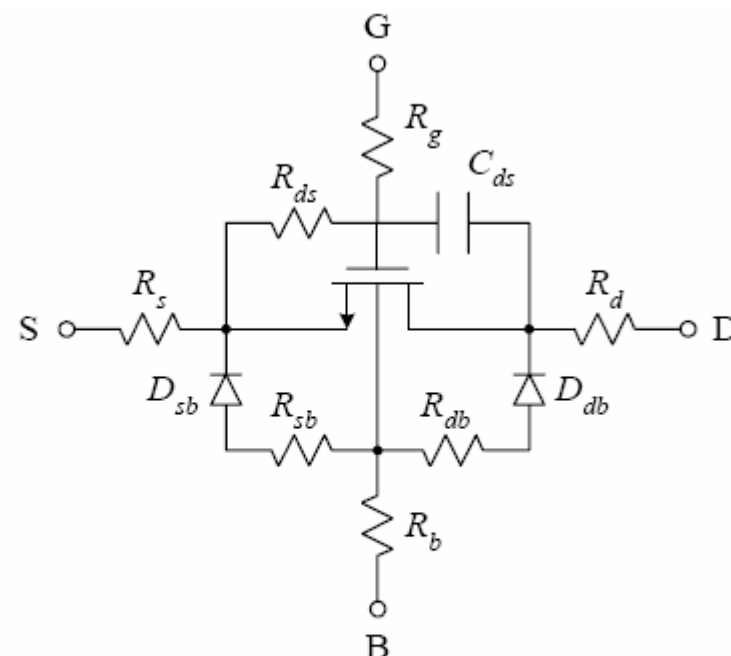
MOS管小信号模型

● 低频和高频模型的比较



Low frequency model

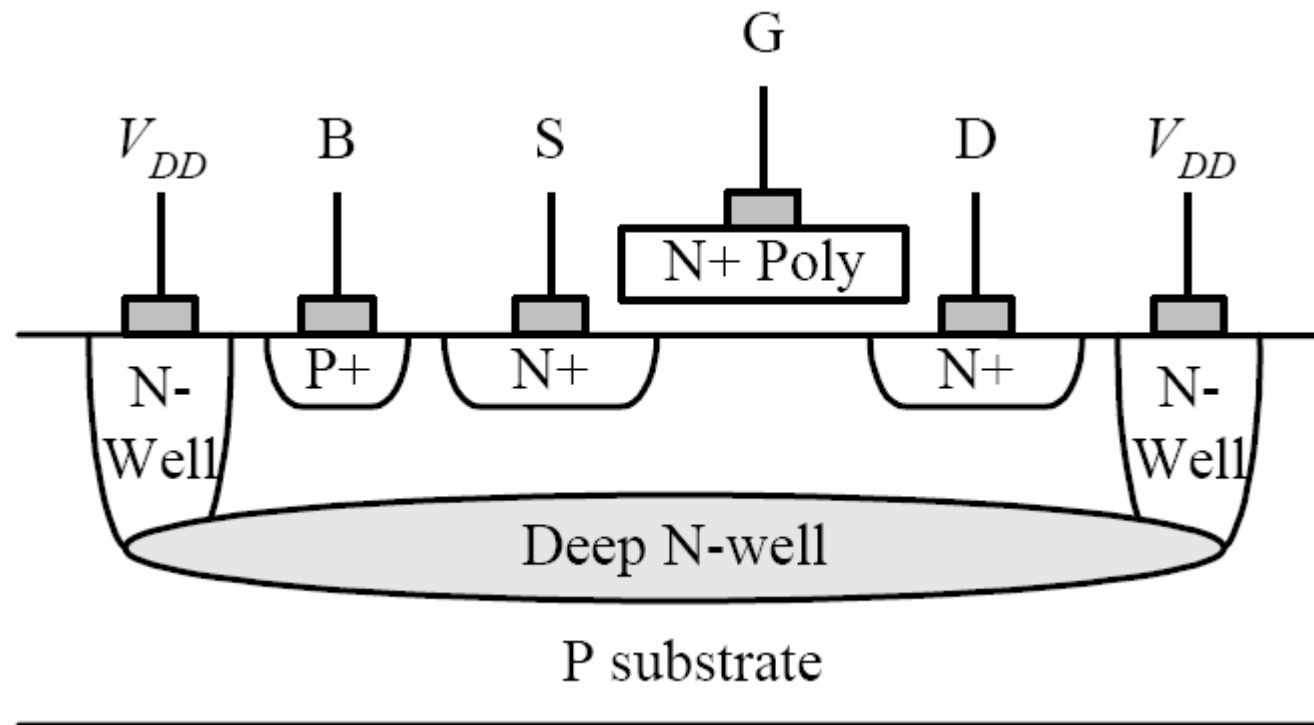
$C_{db} = C_{sb} = 0$



RF model

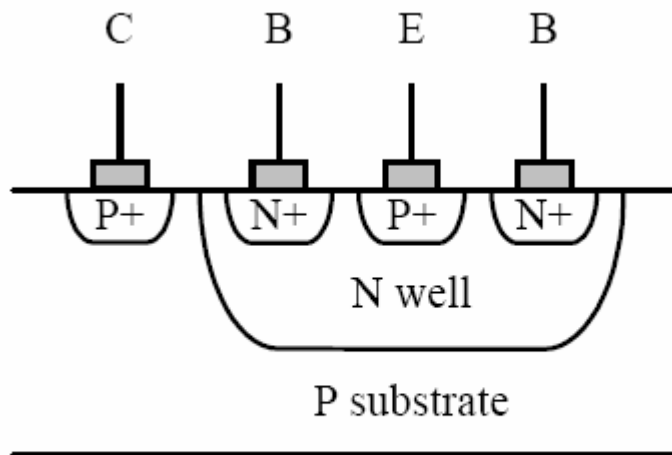
深阱中的NMOS管

- 没有衬偏效应
- 需要额外的掩模层和工艺流程
- 占用面积很大

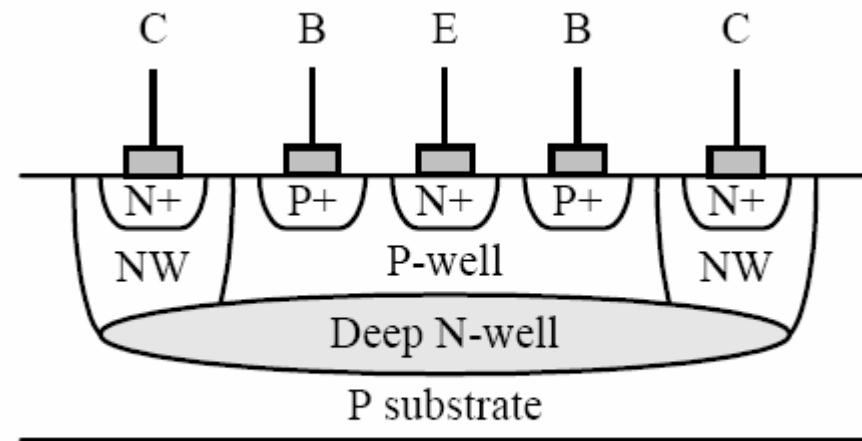


纵向双极型晶体管

● 横行剖面图



PNP



NPN

参考文献

● 博士论文

- 唐长文, “电感电容压控振荡器”, 第四章, 2004年5月, 复旦大学博士论文

● 杂志文章

- 唐长文, 何捷, 菅洪彦, 张海青和闵昊, “电感电容压控振荡器调谐曲线的时域分析”, 电子学报, 第33卷, 第8期, 第1467 - 1472页, 2005年8月
- S. Levantino, C. Samori, A. Bonfanti, S. L. J. Gierkink, A. Lacaita, and V. Boccuzzi, “Frequency dependence on bias current in 5-GHz CMOS VCOs: Impact on tuning range and flicker noise upconversion,” *IEEE J. Solid-State Circuits*, vol. 37, pp. 1003-1011, Aug.2002.
- R. L. Bunch, and S. Raman, “Large-signal analysis of MOS varactors in CMOS — G_m LC VCOs” *IEEE J. Solid-State Circuits*, vol. 38, no.8, pp.1325-1332, Aug. 2003.
- E. Hegazi, and A. Abidi, “Varactor characteristics, oscillator tuning curves, and AM-FM conversion,” *IEEE J. Solid-State Circuits*, vol. 38, no.6, pp.1033-1043, June 2003.
- S. Levantino, C. Samori, A. Zanchi and A. L. Lacaita, “AM-to-PM conversion in varactor-tuned oscillator” *IEEE Trans. on Circuits and Systems-II, Analog and Digital Signal Processing*, vol. 49, no.7, pp.509-513, July 2002.
- K. Molnar, G. Rappitsch, Z. Huszka and E. Seebacher, “MOS varactor modeling with a subcircuit utilizing the BSIM3v3 model” *IEEE Trans. on Electron Devices*, vol. 49, no.7, pp.1206-1211, July 2002.